

建設省工本研究所 正員 ○足立義雄
大阪工業大学 正員 岡村院一

1. まえがき: 近年環境保全の意味から騒音振動問題が大きくなり、高速自動車国道の橋梁においては、車両通行にもない低周波空気振動と称される振動公害が発生するという報告も見られる。この振動公害を解決するためには、その発生源、伝搬などのメカニズムを的確に把握し、現象を解明する必要があるが、この伝搬していく空気の流れは橋梁床版の振動に対応すると考えられる¹⁾。しかし、道路橋の振動と音圧放射の関係については必ずしも十分に解明されていない。本報告では、橋梁構造を、床版と桁組との合成構造として、構造要素間の有機的関連を忠実に詳細し、走行荷重による床版の動的応答に対応した音圧放射を解析した。すなわち、床版表面が空気流動の発振源と考えられ、床版のたわみ速度と与えられる場合床版(固体)表面での垂直な方向の空気粒子の擾乱速度は床版のたわみ速度に等しいとする境界条件のもとで、波動方程式を解き決定される。波動方程式の数値解析にはしばしば差分法を用いられるが、ここでは差分法を用い振動床版から放射される空気流動の伝搬を追跡した²⁾。

本報告で対象とした構造は、図-1に示す上路トラス橋である。ところで、上路橋では、端部を車両が通過する際、荷重は図-2に示す端部桁橋を通じて端部桁橋に伝達され、端部桁橋は鉛直バネのような構造となる。したがって、本構造の振動解析には、トラス主構部の垂直材を図-3に示す鉛直バネを含む構造にモデル化し、床版の沈下変形を考慮した。なお、本解析では、主構部をせん断変形を考慮した等価変形能を有するはりモデルに置換し桁組を掃き構造とした。表-1に主構部の等価断面定数を与えた。

2. 橋梁振動解析結果: 図-4に床版の振動モードを示した。基本振動数の実測値によると、2.5 Hz である。10 Hz 以上のモードでは、床版端部に沈下変形があらわされており、後述の端部で高い音圧レベルとなる原因と思われる。

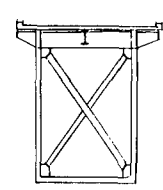
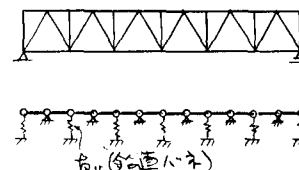
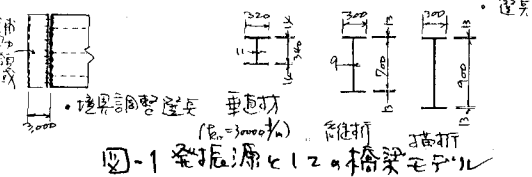
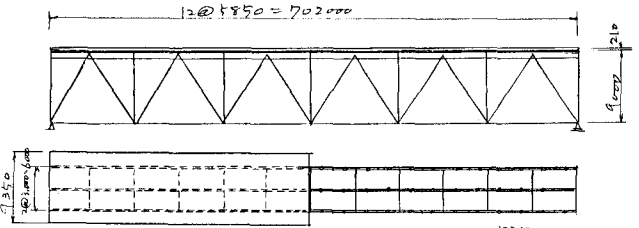


図-2 端部桁橋

表-1 等価断面定数

EI (t ²)	25 x 10 ⁷
GJ (t)	1.23 x 10 ⁵
A (m ²)	0.066
e (m)	3.91
質量 (t/m)	1.12

GJ: せん断剛性係数
e: 主構重心位置から床版面へ

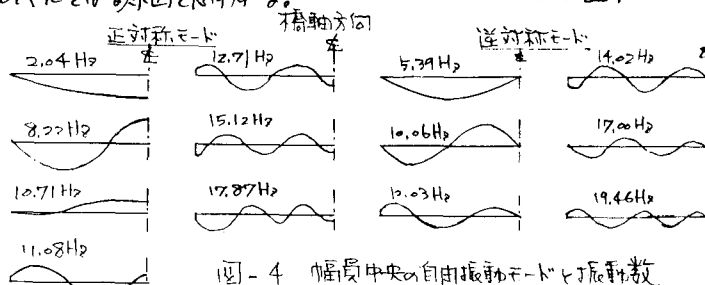
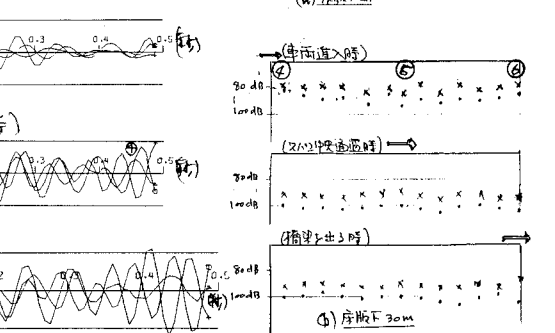
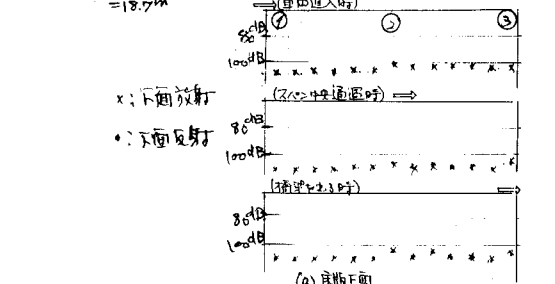
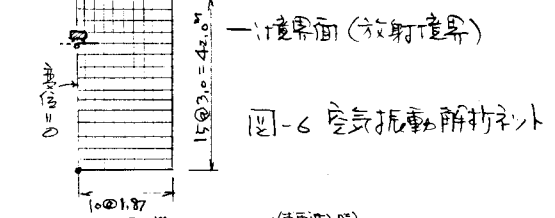
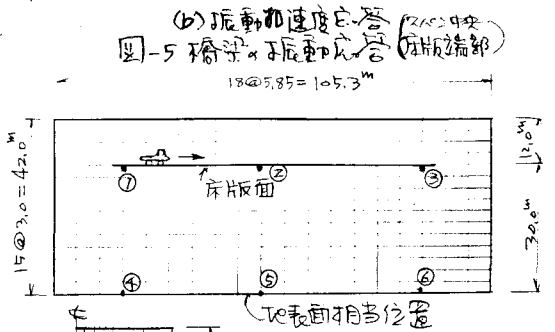
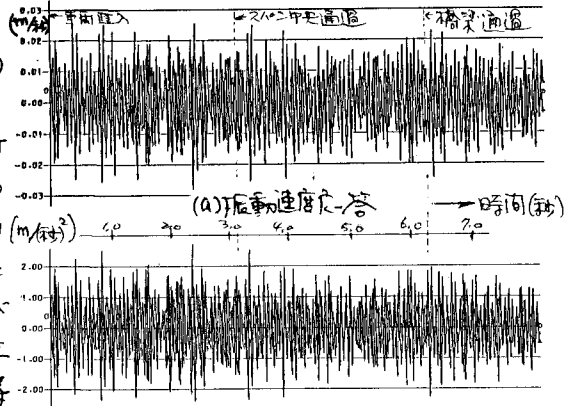


図-4 幅員中央の自由振動モードと振動数

1) 足立, 低周波空気振動の知見, 土木技術資料, Vol. 22, No. 1, 昭和 55. /
2) 岡村, 足立, 島田, 波動方程式による空気振動の数値解析, 北日本工学術講演会概要 I, 昭和 55. 9

図-5には走行車両による振動応答結果を示した。なお、減衰係率は 0.1 、車両重量 25 ト(前輪 3.5 ト、後輪 9.0 ト)速度 $=40$ km/hrの場合である。

3. 空気振動解析結果: 図-6に3次元空気振動の解析に用いた差分メッシュを示す。図-7は、橋梁振動に伴う空気振動の音圧履歴を主要箇所について示したもので、車両進入(後輪進入)によって床版面の端部で発生していることがわかる。また、車両が橋梁から出る場合も端部の音圧が高くなる。振動数は床版面で約 16 Hz、床版下 30 mの位置で約 20 Hzとなる。なお、これらの結果は、地表面等の障害物を考慮していない。図-8は音圧分布(車両進入時、スパン中央通過時、橋梁を出る時の各段階での5秒間の変動値)を示したもので、床版面では、スパン中央より端部の音圧レベルが高いことがわかる。また、地表面で波動が完全反射すると仮定した結果も併記したが、このような障害物により、音圧レベルが相当高くなるようである。実際結果では、スパン中央走行時の床版下 1 mでの音圧は 100 dBであった。なお、周波数分析等により床版振動との関係を目下検討中であるが、これらの結果については講演時に発表の予定である。



(A) 床版面

図-7 主要箇所の音圧履歴

(B) 床版下30m

図-8 音圧分布